



CÁLCULO DIFERENCIAL E INTEGRAL EVOLUINDO A INTELIGÊNCIA COMPUTACIONAL MEDIANTE A LINGUAGEM PYTHON DE PROGRAMAÇÃO

**Rodrigo Antônio Pereira Junior¹, Denis Carlos Lima Costa², Erick Freitas da Costa³,
Adriane Cristina Fernandes Reis⁴, Bruno Henrique Parente de Carvalho⁵,
Pedro Dimas da Cunha Lima⁶, Mara Lúbia Viana de Lima⁷, Edson Costa Cruz⁸**

¹Instituto Federal de Educação, Ciência e Tecnologia do Pará – IFPA – GM²SC
Ananindeua, Brasil (rpereira.junior@ifpa.edu.br)

²Instituto Federal de Educação, Ciência e Tecnologia do Pará – IFPA – GM²SC
Ananindeua, Brasil (denis.costa@ifpa.edu.br)

³Instituto Federal de Educação, Ciência e Tecnologia do Pará – IFPA – GM²SC
Ananindeua, Brasil (efreitas256@gmail.com)

⁴Instituto Federal de Educação, Ciência e Tecnologia do Pará – IFPA – GM²SC
Ananindeua, Brasil (adriane.fr22@gmail.com)

⁵Instituto Federal de Educação, Ciência e Tecnologia do Pará – IFPA – GM²SC
Ananindeua, Brasil (brunoparente22@gmail.com)

⁶Instituto Federal de Educação, Ciência e Tecnologia do Pará – IFPA – GM²SC
Ananindeua, Brasil (cunhapedro665@gmail.com)

⁷Instituto Federal de Educação, Ciência e Tecnologia do Pará – IFPA – GM²SC
Ananindeua, Brasil (mara.lima@ifpa.edu.br)

⁸Instituto Federal de Educação, Ciência e Tecnologia do Pará – IFPA – GM²SC
Cametá, Brasil (edson.cruz@ifpa.edu.br)

Resumo: A proeminente relevância do Cálculo Diferencial e Integral, na Ciência e na Tecnologia, foram delineadas neste artigo. Explanados computacionalmente, Limites, Derivadas e Integrais, foram desenvolvidos em PYTHON, criando uma interface que favorece o processo de ensino-aprendizagem, com característica multidisciplinar. Três estudos estão dispostos no artigo, comprovando a aplicabilidade da estratégia em resultados, analíticos e gráficos, com altíssimo grau de precisão e acurácia.

Palavras-chave: Matemática; Ciência; Tecnologia; Cálculo; Computação.

INTRODUÇÃO

Gottfried Wilhelm Leibniz (1646 - 1716) e Isaac Newton (1643 - 1727), desenvolveram, paralelamente, um dos mais belos e importantes métodos destinados à interpretação da Natureza: O Cálculo Diferencial e Integral.

Essa metodologia permite uma ampliação da percepção do comportamento de um dado fenômeno, descrito por funções matemáticas (Fulini, 2016).

Para Eves (2012), O Cálculo Diferencial e Integral adicionado à Geometria Analítica, formam uma das principais descobertas do Século XVII.

Os conceitos e aplicações de Limite, Derivada e Integral transcenderam os séculos. Suas aplicações estão cada vez mais presentes em estudos de inúmeras

áreas da Ciência e suas Tecnologias. Assim sendo, a resolução algébrica dessa, magnífica, análise infinitesimal, necessita de maior dinâmica. Logo, um mecanismo capaz de resolver cálculos, cada vez mais complexos e com alta precisão e acurácia, como a Computação, é imprescindível.

Batias et al (2021), expõem resultados de um estudo histórico-epistemológico realizado para identificar critérios, a fim de projetar tarefas que promovam a compreensão da noção de Limite em uma função de variável Real. Os critérios pelos autores permitem destacar não só a complexidade matemática subjacente ao estudo do Limite de uma função variável Real, mas também a riqueza de significados que podem ser desenvolvidos para ajudar a compreender esta noção.



Burgos et al (2021), destacam que apreender os conceitos e procedimentos do Cálculo Diferencial, em particular o conceito de Integral, é um desafio para professores e alunos em suas trajetórias acadêmicas. Desenvolver um plano para melhorar os processos instrucionais, requer peculiar atenção à complexidade das características matemáticas da Integral e sua aplicação na interpretação de fenômenos da Natureza.

Verón e Giacomone (2021), discutem diversos significados do conceito de Cálculo Diferencial e aplicam ferramentas e teorias Ontosemióticas, enfatizando os princípios pragmáticos apresentados por Leibniz, Cauchy, Fréchet e Robinson.

Carvalho et al (2021), indagam sobre as aplicações do Cálculo Diferencial e Integral nas Ciências e Engenharias.

Neste artigo, incrementa-se ao Cálculo Diferencial e Integral, a Modelagem Computacional. Para isso, emprega-se a Linguagem PYTHON de Programação, pois, segundo Costa et al (2019), essa linguagem disponibiliza todos os requisitos preconizados pelo Cálculo.

O trabalho compôs uma interface computacional proficiente às operações com Limites, Derivadas e Integrais, assim como à resolução e representação gráfica de funções com uma variável independente. São apresentados três estudos de casos que envolvem a multidisciplinaridade.

Essa pesquisa ascendeu o desenvolvimento de uma série de componentes curriculares no Bacharelado em Ciência e Tecnologia do Instituto Federal de Educação, Ciência e Tecnologia do Pará – IFPA Campus Ananindeua, denominadas Cálculo Diferencial e Computacional I, II, III e IV. Nessas componentes, utiliza-se, além da Linguagem PYTHON, as Linguagens R e MATLAB.

MATERIAL E MÉTODOS

A metodologia aplicada neste artigo está fundamentada nos seguintes trabalhos:

Costa et al (2019), apresentam Métodos Matemáticos desenvolvidos em ambiente computacional, utilizando para isso a linguagem PYTHON de programação.

Costa et al (2020) aplicam a Modelagem Matemática-Computacional para interpretar fenômenos relacionados à gestão ambiental.

Costa et al (2021), divulgam a Matemática Computacional aplicada à Ciência e Tecnologia, desenvolvida em linguagem MATLAB de programação (Mathworks, 2021).

Em todos esses trabalhos é sempre destacado a interdisciplinaridade como instrumento responsável pela evolução das Ciências e suas Tecnologias. E ainda, Costa et al (2019 a 2021) reconhecem que a

Modelagem Matemática pode ser, amplamente, implementada por meio da Modelagem Computacional.

Diante disso, esta pesquisa parte da premissa que o ensino de Cálculo Diferencial e Integral pode ser executado com múltiplos objetivos, envolvendo sistemas com várias linguagens, a partir da aplicação das modelagens Matemática e Computacional. Essa combinação de linguagens irá proporcionar uma análise muito mais ampla e uma interpretação bem mais precisa dos fenômenos da Natureza.

A primeira fase da metodologia está vinculada com a ideia de Limites: Se os valores da função $f(x)$ se aproximarem cada vez mais do número L , enquanto x se aproximar cada vez mais do número a , diz-se que L é o Limite de $f(x)$, quando x tende a a , e escreve-se, conforme a Equação (1) (Leithold, 1994).

$$\lim_{x \rightarrow a} f(x) = L \quad (1)$$

Para modelos que retratam Limites comuns e Limites especiais, como por exemplo, $\frac{0}{0}$, $\frac{k}{0}$ ($k \neq 0$), $\frac{\infty}{\infty}$, $\frac{k}{\infty}$ ($k \neq 0$), entre outros, é possível aplicar o Script 1, apresentado nas Figuras 1 e 2, modelado para resolver as seguintes expressões:

$$\lim_{x \rightarrow 4} \frac{x^2 - 2x - 8}{x - 4} = \frac{0}{0} \quad (2)$$

$$\lim_{x \rightarrow \infty} \frac{x^2 - 2x - 8}{x - 4} = \frac{\infty}{\infty} \quad (3)$$

```

1  #-*- coding: utf-8 -*-
2  """
3  Created on Sat Jul 2 16:53:50 2022
4
5  @author:
6  Instituto de Modelagem Matemática e Modelagem Computacional
7  Cálculo de Limites
8
9  """
10 # Importando Bibliotecas
11 import sympy as sy
12 # Declarando a variável simbólica: x
13 x = sy.Symbol('x')
14 # Declarando a Função: f(x)
15 f = (x**2 - 2*x - 8)/(x - 4)
16 # Visualizando f
17 print('f =', f)
18 # Valor da Tendência: a
19 # Valor do limite de f para x --> a: L
20 a = 4
21 L = sy.limit(f, x, a)
22 # Visualizando L
23 print('L =', L)
24 print('')
25

```

Figura 1. Script 1 - Expressão (2).

A solução é dada por

$$f = (x^2 - 2x - 8)/(x - 4)$$

$$L = 6$$



```

1 # -*- coding: utf-8 -*-
2 """
3 Created on Sat Jul 2 16:53:50 2022
4
5 @author:
6 UFPA - Instituto de Matemática e Física Computacional
7 Cálculo de Limites
8 """
9
10 # Importando Bibliotecas
11 import sympy as sy
12 import math as mt
13 # Declarando a variável simbólica: x
14 x = sy.Symbol('x')
15 # Declarando a Função: f(x)
16 f = (x**2-2*x-8)/(x-4)
17 # Visualizando f
18 print('f = ',f)
19 # Valor da Tendência: a
20 # Valor do Limite de f para x --> a: L
21 a = mt.inf
22 L = sy.limit(f,x,a)
23 # Visualizando L
24 print('L = ',L)
25 print('-----')

```

Figura 2. Script 1 - Expressão (3).

A solução é dada por

$$f = (x^2 - 2x - 8)/(x - 4)$$

$$L = \infty$$

Percebe-se que, em ambos os casos, é utilizada a biblioteca *sympy*. Essa biblioteca é utilizada para cálculos com matemática simbólica (Lutz e Ascher, 2007). Ou seja, operações com sistema de álgebra computacional completo, como os executados no Cálculo Diferencial e Integral com uma ou mais variáveis.

Na resolução da Expressão (3) foi necessário a importação de mais uma biblioteca, a *math*. Essa biblioteca disponibiliza elementos e funções matemáticas especiais, como números complexos e as operações com o infinito, ∞ (Ketkar, 2017).

O script em PYTHON, destinado a representação gráfica de funções, pode ser visualizado na Figura 3. O código foi desenvolvido baseado na Função (4).

$$f(x) = \frac{x^2 - 2x - 8}{x - 4} \quad (4)$$

$$-2 \leq x \leq 10.$$

```

1 # -*- coding: utf-8 -*-
2 """
3 Created on Sun Jul 3 10:41:45 2022
4
5 @author:
6 UFPA - Instituto de Matemática e Física Computacional
7 Representação Gráfica de funções
8 """
9
10 # Importando Bibliotecas
11 import numpy as np
12 import matplotlib.pyplot as plt
13 # Declarando o intervalo de análise
14 # x = np.linspace(início, fim, número de pontos)
15 x = np.linspace(-2,10,20)
16 # Declarando a Função: f(x)
17 f = (x**2-2*x-8)/(x-4)
18 # Representação Gráfica
19 plt.plot(x,f,'r',linewidth=3)
20 plt.xlabel('Valores de x')
21 plt.ylabel('Valores de f(x)')
22 plt.title('f = (x**2 - 2*x - 8)/(x-4)')
23 plt.grid(True)

```

Figura 3. Script 2 para Função (4).

O gráfico de (4), gerado a partir execução do Script 2, está exposto na Figura 4.

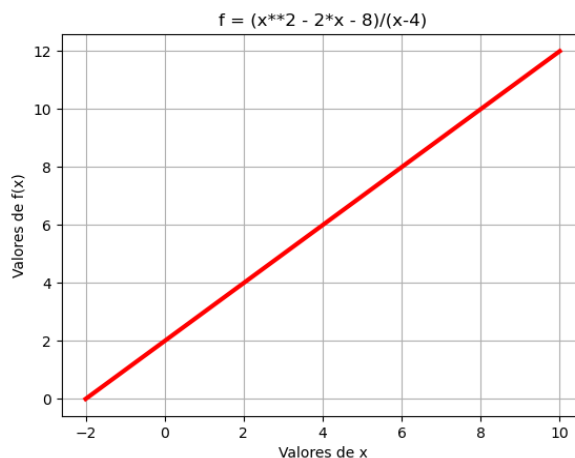


Figura 4. Representação gráfica da Função (4).

A segunda fase da metodologia está vinculada com a ideia das Derivadas. Para Villegas (2014), a Derivada de uma função, definida em relação à variável Real x , da qual depende, se e somente se, o Limite existir no domínio de \mathbb{R} , é dada pela Expressão (5).

$$\frac{df}{dx} = \lim_{h \rightarrow 0} \frac{f(x+h) - f(x)}{h} \quad (5)$$

O Script 3, evidenciado na Figura 5, apresenta a Modelagem Computacional, em linguagem PYTHON, designado às Derivadas de ordem 1 e 2, para a Função (6).

$$f(x) = x^2 + e^{4x} + \sin(3x) \quad (6)$$

```

1 # -*- coding: utf-8 -*-
2 """
3 Created on Sat Jul 2 17:07:34 2022
4
5 @author:
6 UFPA - Instituto de Matemática e Física Computacional
7 Cálculo de Derivadas
8 """
9
10 # Importando Bibliotecas
11 import sympy as sy
12 # Declarando a variável simbólica: x
13 x = sy.Symbol('x')
14 # Declarando a Função: f(x)
15 f = x**2 + sy.exp(4*x) + sy.sin(3*x)
16 # Visualizando f
17 print('f = ',f)
18 # Derivada 1ª de f em relação a x: dif
19 dif = sy.diff(f,x)
20 # Visualizando dif
21 print('dif = ',dif)
22 # Derivada 2ª de f em relação a x: d2f
23 d2f = sy.diff(f,x,2)
24 # Visualizando d2f
25 print('d2f = ',d2f)

```

Figura 5. Script 3 para Função (4).

O conjunto de soluções é dado por

$$f = x^2 + \exp(4x) + \sin(3x)$$

$$d1f = 2x + 4 \exp(4x) + 3 \cos(3x)$$

$$d2f = 2 + 16 \exp(4x) - 9 \sin(3x)$$



No *Script* 3, linha 14, percebe-se que as Funções Exponencial e Seno precisam ser importadas da biblioteca *sympy*. Por esse motivo, elas aparecem precedidas do termo *sy*. Processo semelhante ocorre com a operações de Limites, Derivadas e Integrais.

O *Script* 2 foi adaptado para representar, graficamente, as resoluções do *Script* 3, conforme mostra a Figura 6.

```
1 # -*- coding: utf-8 -*-
2 """
3 Created on Sun Jul 3 10:41:45 2022
4
5 @author:
6 GMS - Gradiente de Modelagem Matemática e Simulação Computacional
7 Representação Gráfica de funções
8 """
9
10 # Importando Bibliotecas
11 import numpy as np
12 import matplotlib.pyplot as plt
13 # Declarando o intervalo de análise
14 # x = np.linspace(início, fim, número de pontos)
15 x = np.linspace(9,10,50)
16 # Declarando a Função: f(x)
17 f = x**2 + np.exp(4*x)*np.sin(3*x)
18 df = 2*x + 4*np.exp(4*x) + 3*np.cos(3*x)
19 d2f = 2 + 16*np.exp(4*x) - 9*np.sin(3*x)
20 # Representação Gráfica
21 plt.plot(x,f,'r',Label = 'f(x)',linewidth = 3)
22 plt.plot(x,df,'b',Label = 'df',linewidth = 3)
23 plt.plot(x,d2f,'g',Label = 'd2f',linewidth = 3)
24 plt.xlabel('x')
25 plt.ylabel('f,df,d2f')
26 plt.title('Derivadas de f(x)')
27 plt.legend()
28 plt.grid(True)
```

Figura 6. *Script* 2 ajustado à Função (6) e suas derivadas.

Percebe-se que o *Script* 2 sofreu ajustes que possibilitam a plotagem, simultânea, de várias funções. Essa produção de múltiplas curvas facilita a comparação entre a função primitiva $f(x)$ e suas derivadas $\frac{df}{dx}$ e $\frac{d^2f}{dx^2}$, no mesmo diagrama.

A representação gráfica da resolução do *Script* 3, referente a Função (6), aparece na Figura 7.

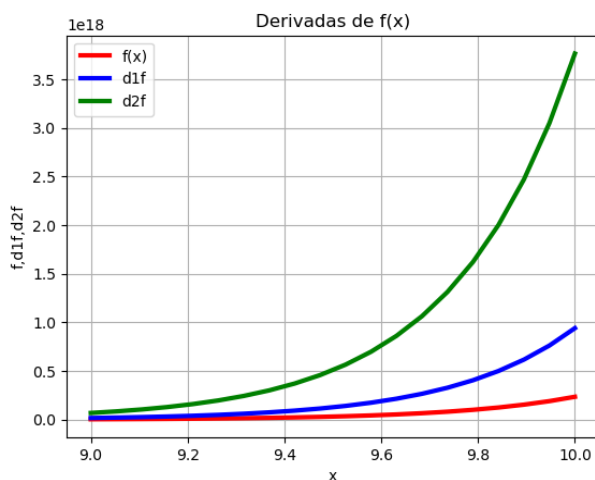


Figura 7. Comportamentos de $f(x)$, $\frac{df}{dx}$ e $\frac{d^2f}{dx^2}$.

A terceira fase da metodologia está vinculada com a ideia das Integrais. De acordo com Villegas (2014), a Integral é uma antiderivada e, portanto, se uma função da forma

$$f(x) = \frac{dF(x)}{dx},$$

decorre que,

$$\text{If } x = \int f(x)dx = \int \frac{dF(x)}{dx}dx = F(x) + C \quad (7)$$

Sendo $F(x)$ a função primitiva de $f(x)$.

Generalizando, tendo como premissa o teorema fundamental do Cálculo, pode-se afirmar que, existindo uma função $f(x)$, integrável em um intervalo fechado $[a, b]$, então

$$\text{If } x = \int_a^b f(x)dx = F(b) - F(a) \quad (8)$$

A Figura 8 mostra o *Script* 4, referente à Modelagem Computacional da Integral Indefinida de $f(x)$.

A função aplicada, na simulação, está representada na Expressão (9).

$$f(x) = x + \sin(x) \quad (9)$$

Em seguida, na Figura 9, o *Script* 4 experimentalá uma adequação que permitirá efetuar a Integral Definida de $f(x)$, no intervalo $[0, 2\pi]$. Dessa forma, estará realizada a Modelagem Matemática-Computacional para as Expressões (7) e (8).

```
1 # -*- coding: utf-8 -*-
2 """
3 Created on Sat Jul 2 17:12:08 2022
4
5 @author:
6 GMS - Gradiente de Modelagem Matemática e Simulação Computacional
7 Cálculo de Integrais
8 """
9
10 # Importando Bibliotecas
11 import sympy as sy
12 # Declarando a variável simbólica: x
13 x = sy.Symbol('x')
14 # Declarando a Função: f(x)
15 f = x + sy.sin(x)
16 # Visualizando f
17 print(f)
18 # Integral de f(x) em relação a x: Ifx
19 Ifx = sy.integrate(f,x)
20 # Visualizando Ifx
21 print('Ifx =', Ifx)
```

Figura 8. *Script* 4a – Integral Indefinida de $f(x)$.

A solução é dada por

$$f = x + \sin(x)$$

$$\text{If } x = x ** 2 / 2 - \cos(x)$$

Sendo $\text{If } x$ a Integral da função f .



```

1  #-*- coding: utf-8 -*-
2  """
3  Created on Sat Jul 2 17:12:08 2022
4
5  @author:
6  UFPA - Universidade do Pará - Faculdade de Engenharia e Tecnologia
7  Cálculo de Integrais
8  """
9
10 # Importando Bibliotecas
11 import sympy as sy
12 # Declarando a variável simbólica: x
13 x = sy.Symbol('x')
14 # Declarando a Função: f(x)
15 f = x + sy.sin(x)
16 # Visualizando f
17 print('f = ', f)
18 # Integral de f(x) em relação a x: Ifx
19 # Limites de Integração: [a,b]
20 a = 0
21 b = 2*sy.pi
22 Ifx = sy.integrate(f, (x, a, b))
23 # Visualizando Ifx
24 print('Ifx = ', Ifx)

```

Figura 9. Script 4b – Cálculo da Integral Definida de uma função $f(x)$.

A solução é dada por

$$f = x + \sin(x)$$

$$Ifx = 2 * \pi ** 2$$

A representação gráfica da Função (9) e sua Integral (Ifx), foi limitada pelo intervalo

$$-2\pi \leq x \leq 2\pi,$$

conforme mostra a Figura 10.

```

1  #-*- coding: utf-8 -*-
2  """
3  Created on Sun Jul 3 10:41:45 2022
4
5  @author:
6  UFPA - Universidade do Pará - Faculdade de Engenharia e Tecnologia
7  Representação Gráfica de funções
8  """
9
10 # Importando Bibliotecas
11 import numpy as np
12 import matplotlib.pyplot as plt
13 # Declarando o intervalo de análise
14 x = np.linspace(início, fim, número de pontos)
15 x = np.linspace(-2*np.pi, 2*np.pi, 40)
16 # Declarando as Funções: f(x) e Ifx
17 f = x + np.sin(x)
18 Ifx = x**2/2 - np.cos(x)
19 # Representação Gráfica
20 # Gráfico da função primitiva: f
21 plt.subplot(2, 1, 1)
22 plt.plot(x, f, 'r', label = 'f(x)', linewidth = 3)
23 plt.title('Funções Primitiva e Integral')
24 plt.ylabel('f(x)')
25 plt.legend()
26 # Gráfico da Integral de f: Ifx
27 plt.subplot(2, 1, 2)
28 plt.plot(x, Ifx, 'b', label = 'Ifx', linewidth = 3)
29 plt.xlabel('x')
30 plt.ylabel('Ifx')
31 plt.legend()
32 plt.grid(True)
33

```

Figura 10. Script 2 – ajustado para o cálculo da Integral de $f(x)$.

O produto da execução do Script 2, ajustado para a representação gráfica de $f(x)$ e sua Integral Definida, pode ser avaliado na Figura 11.

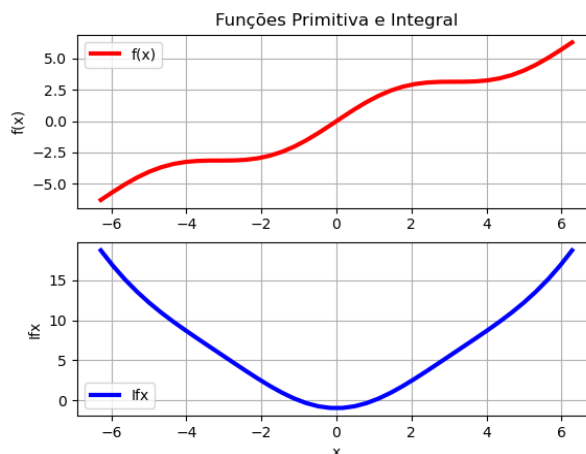


Figura 11. Comportamentos das Funções $f(x)$ e Ifx .

RESULTADOS E DISCUSSÃO

Esta pesquisa realizou aplicações multidisciplinares, de Cálculo Diferencial e Computacional, segmentadas em três estudos de caso.

Caso I – Este estudo relaciona a taxa de crescimento de uma planta em função no nível de precipitação. Para Song et al (2016), as alterações no clima têm ampla interferência nos ciclos de carbono e água do ecossistema, modificando as permutas gasosas das plantas. Em seus experimentos de manipulação de mudanças globais foi revelado respostas ecofisiológicas, indicando que o tamanho de uma planta, em aquecimento climático, varia com a precipitação x (mm), em concordância com a Equação (10).

$$B(x) = \frac{40x}{\sqrt{1+x^2}} + 20 \quad (10)$$

Sendo B , o tamanho da planta em metro (m).

A taxa de variação do crescimento, em relação à precipitação, pode ser estimada pela Derivada 1ª da Equação (10), de acordo com a Equação (11).

$$\frac{dB}{dx} = \frac{40}{\sqrt{1+x^2}} - \frac{40x^2}{\sqrt{(1+x^2)^3}} \quad (11)$$

Para uma precipitação tendendo a 62.75 mm, o tamanho da planta tenderá a 59.9949 m, conforme estimado por Song et al (2016). Este resultado pode ser comprovado fazendo

$$\lim_{x \rightarrow 62.75} \frac{40x}{\sqrt{1+x^2}} + 20 = 59.9949 \quad (12)$$

Analisando a Figura 12, percebe-se que o Script 3 foi regulado para calcular a Derivada 1ª da Equação (10).



```

1  #-*- coding: utf-8 -*-
2  """
3  Created on Sat Jul 2 17:07:34 2022
4
5  @author:
6  GMS - Gradiente de Modelagem Matemática e Simulação Computacional
7  Cálculo de Derivadas
8  """
9
10 # Importando Bibliotecas
11 import sympy as sy
12 # Declarando a variável simbólica: x
13 x = sy.Symbol('x')
14 # Declarando a Função: f(x)
15 f = (40*x/sy.sqrt(1+x**2))+20
16 # Visualizando f
17 print('f = ',f)
18 # Derivada 1ª de f em relação a x: dif
19 dif = sy.diff(f,x)
20 # Visualizando dif
21 print('dif = ',dif)

```

Figura 12. Script 3 – ajustado à Equação (10).

O resultado encontrado está de acordo com a Equação (11).

$$d1f = -40 * x ** 2 / (x ** 2 + 1) ** (3/2) + 40 / \text{sqrt}(x ** 2 + 1)$$

A Figura 13 exibe o Script 1, regulado para calcular o Limite da Equação (10), avalizando a sua tendência, em conformidade com a Expressão (12).

```

1  #-*- coding: utf-8 -*-
2  """
3  Created on Sat Jul 2 16:53:50 2022
4
5  @author:
6  GMS - Gradiente de Modelagem Matemática e Simulação Computacional
7  Cálculo de Limites
8  """
9
10 # Importando Bibliotecas
11 import sympy as sy
12 # Declarando a variável simbólica: x
13 x = sy.Symbol('x')
14 # Declarando a Função: f(x)
15 f = (40*x/sy.sqrt(1+x**2))+20
16 # Visualizando f
17 print('f = ',f)
18 # Valor da Tendência: a
19 a = 62.75
20 # Valor do Limite de f para x --> a: L
21 L = sy.limit(f,x,a)
22 # Visualizando L
23 print('L = ',L)
24 # Visualizando f
25 print('f = ',f)

```

Figura 13. Script 1 – ajustado à Equação (10).

As dinâmicas da relação $B = f(x)$ e da sua taxa de variação, estão ilustradas na Figura 14.

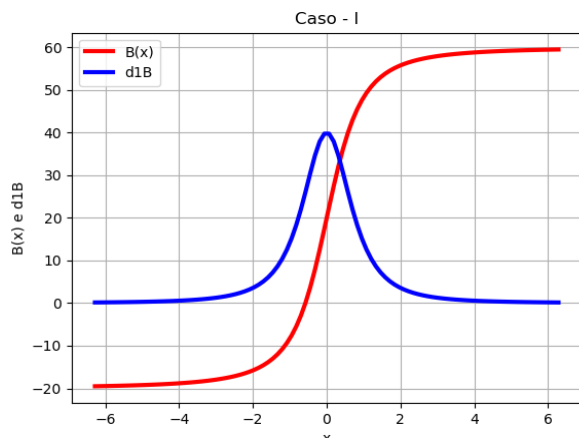


Figura 14. Diagrama das Equações (10) e (11).

Caso II – Este estudo relaciona o Valor Médio Quadrático da Corrente Elétrica. Fundamentado em Costa et al (2021), entende-se que a transmissão eficiente em um Sistema Elétrico está associada à Corrente Elétrica (i) do circuito CA (Corrente Alternada). Essa Corrente, frequentemente, é configurada em um modelo de onda senoidal, cujo Valor Médio Quadrático (i_{vmq}) pode ser calculado pela Equação (13).

$$i_{vmq} = \sqrt{\int_0^t [10e^{-t} \sin(2\pi t)]^2 dt} \quad (13)$$

Sendo, t o instante final de avaliação do Sistema de Energia Elétrica.

A Figura 15 apresenta o Script 4, ajustado para resolver a Equação (13), no intervalo $t = [0, 1]$ s.

```

1  #-*- coding: utf-8 -*-
2  """
3  Created on Sat Jul 2 17:12:08 2022
4
5  @author:
6  GMS - Gradiente de Modelagem Matemática e Simulação Computacional
7  Cálculo de Integrais
8  """
9
10 # Importando Bibliotecas
11 import sympy as sy
12 # Declarando a variável simbólica: x
13 t = sy.Symbol('t')
14 # Declarando a Função: f(x)
15 f = 10*sy.exp(-1*t)*sy.sin(2*sy.pi*t)
16 # Visualizando f
17 print('f = ',f)
18 # Integral de f(x) em relação a x: Ifx
19 # Limites de Integração: [a,b]
20 a = 0
21 b = 1
22 Ifx = sy.integrate(f,(t, a, b))
23 i_vmq = sy.sqrt(Ifx)
24 # Visualizando Ifx
25 print('Ifx = ',Ifx)
26 # Visualizando i_vmq
27 print('i_vmq = ',i_vmq)

```

Figura 15. Script 4 – ajustado à Equação (13).

Os resultados obtidos são

$$f = 10 * \exp(-t) * \sin(2 * \pi * t)$$

$$Ifx = -20 * \pi / (e + 4 * e * \pi ** 2) + 20 * \pi / (1 + 4 * \pi ** 2)$$

Para a Integral Indefinida tem-se

$$i_{vmq} = \sqrt{-10 * \sin(2 * \pi * t) / (\exp(t) + 4 * \pi ** 2 * \exp(t)) - 20 * \pi * \cos(2 * \pi * t) / (\exp(t) + 4 * \pi ** 2 * \exp(t))} \quad (14)$$

Para a Integral Definida tem-se

$$i_{vmq} = \sqrt{-20 * \pi / (e + 4 * e * \pi ** 2) + 20 * \pi / (1 + 4 * \pi ** 2)}$$

Ou seja,

$$Ifx = 0.981197$$

$$i_{vmq} = 0.990554 A.$$



A representação gráfica da Equação (14) pode ser visualizada na Figura 16.

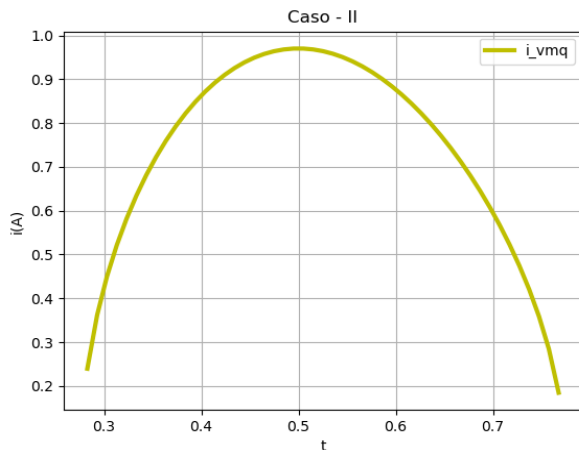


Figura 16. Diagrama da Equação (14).

Para a construção do gráfico da Equação (14) foi utilizado o Script 2, adaptado, para esta expressão, como mostra a Figura 17.

```
1 # -*- coding: utf-8 -*-
2 """
3 Created on Sun Jul 3 10:41:45 2022
4
5 @author:
6 GHS - Gradiente de Modelagem Matemática e Simulação Computacional
7 Representação Gráfica de funções
8 """
9 # Importando Bibliotecas
10 import numpy as np
11 import matplotlib.pyplot as plt
12 # Declarando o intervalo de análise
13 # t = np.linspace(início, fim, número de pontos)
14 t = np.linspace(0,1,100)
15 # Declarando as Funções: f(x) e Ifx
16 f = np.sqrt(-10*np.sin(2*np.pi*t)/(np.exp(t)+4*np.pi**2*np.exp(t))-
17          20*np.pi*np.cos(2*np.pi*t)/(np.exp(t)+4*np.pi**2*np.exp(t)))
18 # Representação Gráfica
19 # Gráfico da função primitiva: f
20 plt.plot(t,f,'y',label='i_vmq',linewidth=3)
21 plt.xlabel('t')
22 plt.ylabel('i(A)')
23 plt.title('Caso - II')
24 plt.legend()
25 plt.grid(True)
26
```

Figura 17. Script 2 – adaptado à Equação (14).

Caso III – Este estudo refere-se à análise de modelos que interpretam a eficiência de Custo, Receita e Lucro das unidades, para a tomada de decisão (Ashrafi e Kaleibar, 2017). Para os autores a eficiência de financeira pode ser definida como a relação entre os Custos a Receita.

Suponha que a taxa de variação da Receita de uma empresa possa ser estimada pela Equação (15).

$$\frac{dR}{dt} = -t^2 + 11t \quad (15)$$

Sendo, R o valor (em \$ 10^6) da Receita Bruta em venda daqui a t anos.

Da mesma forma, a taxa de variação dos Custos (em \$ 10^6) pode ser calculada pela Equação (16).

$$\frac{dC}{dt} = -t^3 + 7t^2 - 4t \quad (16)$$

Em conformidade com Ashrafi e Kaleibar (2017), a eficiência do Lucro Total (em \$ 10^6) pode ser evidenciada pela Equação (18).

$$L(t) = \int_{t_0}^{t_1} [-t^2 + 11t] dt - \int_{t_0}^{t_1} [-t^3 + 7t^2 - 4t] dt \quad (18)$$

Os comportamentos das Equações (17) e (18), podem ser examinados na Figura 18.

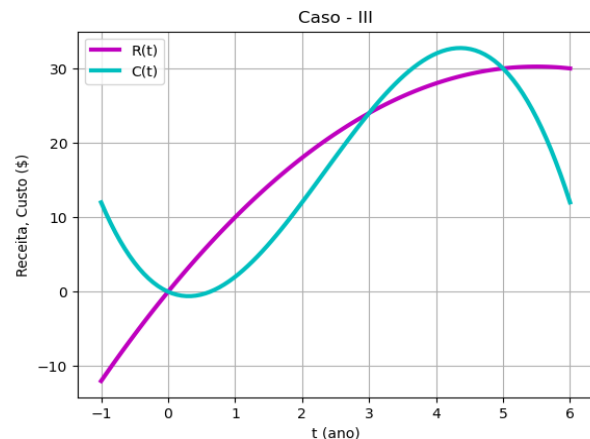


Figura 18. Diagrama da Equação (18).

Para a construção do gráfico da Equação (18) foi utilizado o Script 2, adaptado, para esta expressão, como mostra a Figura 19.

```
1 # -*- coding: utf-8 -*-
2 """
3 Created on Sun Jul 3 10:41:45 2022
4
5 @author:
6 GHS - Gradiente de Modelagem Matemática e Simulação Computacional
7 Representação Gráfica de funções
8 """
9 # Importando Bibliotecas
10 import numpy as np
11 import matplotlib.pyplot as plt
12 # Declarando o intervalo de análise
13 # t = np.linspace(início, fim, número de pontos)
14 t = np.linspace(-1,6,100)
15 # Declarando as Funções Receita, Custo e Lucro
16 R = -t**2 + 11*t
17 C = -t**3 + 7*t**2 - 4*t
18 L = R - C
19 # Representação Gráfica
20 # Gráfico das funções R e C
21 plt.figure(1)
22 plt.plot(t,R,'m',label='R(t)',linewidth=3)
23 plt.plot(t,C,'c',label='C(t)',linewidth=3)
24 plt.xlabel('t (ano)')
25 plt.ylabel('Receita, Custo ($)')
26 plt.title('Caso - III')
27 plt.legend()
28 plt.grid(True)
29 # Gráfico da função L
30 plt.figure(2)
31 plt.plot(t,L,'r',label='L(t) = R(t) - C(t)',linewidth=3)
32 plt.xlabel('t(ano)')
33 plt.ylabel('Lucro ($)')
34 plt.title('Caso - III')
35 plt.legend()
36 plt.grid(True)
37
```

Figura 19. Script 2 – adaptado à Equação (18).

Para determinação do Lucro, em função de tempo, deve-se estabelecer os valores para o intervalo de análise, ou seja, $[t_0, t]$. Esses valores serão utilizados



como limites para as Integrais, em conformidade com a Equação (18). Percebe-se, visualizando a Figura (18), que há três interseções entre as funções $R(t)$ e $C(t)$. Estes pontos de interseção definem os intervalos de análise e foram determinados da seguinte maneira:

$$R(t) = C(t)$$

Ou ainda,

$$R(t) - C(t) = 0.$$

O Script 5 foi implementado para resolver equações, ou seja, encontrar o conjunto solução (S) da variável independente responsável por zerar uma determinada função.

A Figura 20 apresenta o Script 5 estruturado resolver a Equação (20).

$$L(t) \rightarrow R(t) - C(t) = 0 \quad (20)$$

```
1 # -*- coding: utf-8 -*-
2 """
3 Created on Tue Jul 5 15:10:00 2022
4
5 @author:
6 UFPA - Universidade do Pará - Faculdade de Engenharia
7 Resolução de Equações - Encontrar Raízes
8
9 # Importando Biblioteca
10 import sympy as sy
11 # Declarando a variável simbólica: t
12 t = sy.symbols('t')
13 print('Equação a ser resolvida:')
14 # Declarando a Equação a ser resolvida: L = R - C
15 R = -t**2 + 11*t
16 C = -t**3 + 7*t**2 - 4*t
17 L = R - C
18 print('L =', L)
19 # Conjunto Solução: S
20 S = sy.solve(L)
21 print('Solução da Equação:')
22 print('S =', S)
23
```

Figura 20. Script 2 – adaptado à Equação (20).

Os resultados obtidos são

$$L = t^3 - 8t^2 + 15t$$

$$S = [0, 3, 5]$$

Ou seja,

$$L(t) = t^3 - 8t^2 + 15t \quad (21)$$

O comportamento da Equação (21), pode ser observado na Figura 21.

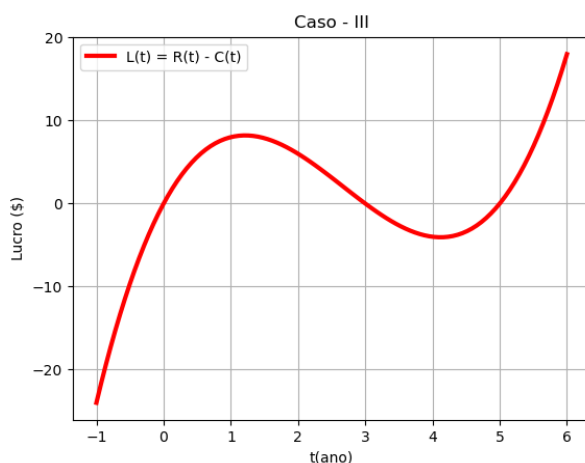


Figura 21. Gráfico da Equação (21).

De acordo com o gráfico da Figura 21, percebe-se que no intervalo, $t_p = [0, 3]$ o Lucro é positivo e, no intervalo $t_n = [3, 5]$, o Lucro é negativo (prejuízo).

Essa informação é corroborada pela análise da Figura 18, em que no intervalo $t_p = [0, 3]$ a curva da Função Receita está acima da curva da Função Custo e, no intervalo $t_n = [3, 5]$ a curva da Função Receita está abaixo da curva da Função Custo.

Diante disso, é presumível que, o Lucro Total pode ser contabilizado como o somatório das áreas delimitadas pelas curvas $R(t)$ e $C(t)$, no intervalo $t = [0, 5]$, limitantes mínimo e máximo da interseção entre elas, conforme a Equação (18) e ilustrado na Figura 22.

```
1 # -*- coding: utf-8 -*-
2 """
3 Created on Sat Jul 2 17:12:00 2022
4
5 @author:
6 UFPA - Universidade do Pará - Faculdade de Engenharia
7 Cálculo de Integrais
8
9 # Importando Bibliotecas
10 import sympy as sy
11 # Declarando a variável simbólica: x
12 t = sy.Symbol('t')
13 # Declarando as Funções: R(t) e C(t)
14 R = -t**2 + 11*t
15 C = -t**3 + 7*t**2 - 4*t
16 # Visualizando R e C
17 print('R =', R)
18 print('C =', C)
19 # Limites de Integração: [a,b]
20 a = 0.0
21 b = 5.0
22 # Integral de R em relação a t: IRt
23 IRt = sy.integrate(R, (t, a, b))
24 # Integral de C em relação a t: ICt
25 ICt = sy.integrate(C, (t, a, b))
26 # Arredondando: round(Variável, nº de casas)
27 # Visualizando IRt
28 print('IRt =', round(IRt, 2))
29 # Visualizando ICt
30 print('ICt =', round(ICt, 2))
31 # Valor do Lucro: L = IRt - ICt
32 L = IRt - ICt
33 # Visualizando o Valor do Lucro
34 print('L =', round(L, 2))
35
```

Figura 22. Script 4 – ajustado à Equação (18).

Os resultados obtidos são

$$R = -t^2 + 11t$$

$$C = -t^3 + 7t^2 - 4t$$

$$IRt \cong 95.83$$

$$ICt \cong 85.41$$

$$L \cong 10.42$$

A Inteligência Computacional permite resolver n – vezes, Cálculos de Limites, Derivadas e de Integrais, com altíssima precisão e acurácia. Assim sendo, a aferição das áreas, delimitadas pelas curvas $R(t)$ e $C(t)$, será executada em duas formas.

As Figuras 23 e 24, exibem essas resoluções considerando os seguintes limites de Integração:

Intervalo I $\rightarrow t_p = [0, 3]$;

Intervalo II $\rightarrow t_n = [3, 5]$.

Considerando essas duas circunstâncias, as observações sobre o comportamento do Lucro estarão mais evidenciadas.



```

1  #-*- coding: utf-8 -*-
2  """
3  Created on Sat Jul 2 17:12:08 2022
4
5  @author:
6  GEMAS - Grupo de Modelagem Matemática e Simulação Computacional
7  Cálculo de Integrais
8  """
9
10 # Importando Bibliotecas
11 import sympy as sy
12 # Declarando a variável simbólica: x
13 t = sy.Symbol('t')
14 # Declarando as Funções: R(t) e C(t)
15 R = -t**2 + 11*t
16 C = -t**3 + 7*t**2 - 4*t
17 # Visualizando R e C
18 print('R =', R)
19 print('C =', C)
20 # Limites de Integração: [a,b]
21 a = 0.0
22 b = 3.0
23 # Integral de R em relação a t: IRt
24 IRt = sy.integrate(R, (t, a, b))
25 # Integral de C em relação a t: ICt
26 ICt = sy.integrate(C, (t, a, b))
27 # Arredondando: round(Variável, nº de casas)
28 # Visualizando IRt
29 print('IRt =', round(IRt, 4))
30 # Visualizando ICt
31 print('ICt =', round(ICt, 4))
32 # Valor do Lucro: L = IRt - ICt
33 L = IRt - ICt
34 # Visualizando o Valor do Lucro
35 print('L =', round(L, 2))

```

Figura 23. Script 4 – Equação (18), intervalo I.

Os resultados obtidos são

$$\begin{aligned}
 R &= -t^2 + 11t \\
 C &= -t^3 + 7t^2 - 4t \\
 IRt &= 40.5000 \\
 ICt &= 24.7500 \\
 L &= 15.75
 \end{aligned}$$

```

1  #-*- coding: utf-8 -*-
2  """
3  Created on Sat Jul 2 17:12:08 2022
4
5  @author:
6  GEMAS - Grupo de Modelagem Matemática e Simulação Computacional
7  Cálculo de Integrais
8  """
9
10 # Importando Bibliotecas
11 import sympy as sy
12 # Declarando a variável simbólica: x
13 t = sy.Symbol('t')
14 # Declarando as Funções: R(t) e C(t)
15 R = -t**2 + 11*t
16 C = -t**3 + 7*t**2 - 4*t
17 # Visualizando R e C
18 print('R =', R)
19 print('C =', C)
20 # Limites de Integração: [a,b]
21 a = 3.0
22 b = 4.0
23 # Integral de R em relação a t: IRt
24 IRt = sy.integrate(R, (t, a, b))
25 # Integral de C em relação a t: ICt
26 ICt = sy.integrate(C, (t, a, b))
27 # Arredondando: round(Variável, nº de casas)
28 # Visualizando IRt
29 print('IRt =', round(IRt, 4))
30 # Visualizando ICt
31 print('ICt =', round(ICt, 4))
32 # Valor do Lucro: L = IRt - ICt
33 L = IRt - ICt
34 # Visualizando o Valor do Lucro
35 print('L =', round(L, 2))

```

Figura 24. Script 4 – Equação (18), intervalo II.

Os resultados obtidos são

$$\begin{aligned}
 R &= -t^2 + 11t \\
 C &= -t^3 + 7t^2 - 4t \\
 IRt &= 26.1667 \\
 ICt &= 28.5833 \\
 L &= -2.42
 \end{aligned}$$

CONCLUSÃO

A crescente evolução tecnológica exige um constante aperfeiçoamento científico. A consciência matemática contribui para que essa evolução acrescente uma concepção crítica e reflexiva sobre a mecânica da Natureza, em todos os seus aspectos, sociais, ambientais, físicos, químicos, biológicos, entre outros.

Esse artigo transfere uma estratégia que permite otimizar a execução do Cálculo Diferencial e Integral, sem reduzir a relevância algébrica dessa esplêndida criação da humanidade.

Elaborada, inicialmente por Gottfried Wilhelm Leibniz e Isaac Newton, o Cálculo Diferencial e Integral foi incrementado e obteve uma interface computacional que estimula suas aplicações em modelos interdisciplinares.

Fundamentado pela Linguagem PYTHON de programação, foram apresentados *scripts* que operam Limites, Derivadas e Integrais. Essa Modelagem Matemática-Computacional diminui a possibilidade de erros algébricos e maximiza a compreensão do fenômeno estudado.

Três estudos foram retratados. Todos apresentaram elevados níveis de precisão e acurácia em seus resultados analíticos e gráfico.

Para trabalhos futuros, estima-se a implementação de modelos baseados em funções com múltiplas variáveis independentes, para análises de multicritérios.

AGRADECIMENTOS

Ao Instituto Federal de Educação, Ciência e Tecnologia do Pará – IFPA *Campus* Ananindeua, pela administração do Bacharelado em Ciência e Tecnologia desse *campus*. E ao grupo de pesquisa Gradiente de Modelagem Matemática e Simulação Computacional – GM²SC, pela gestão e motivação científica de Discentes e Docentes.

REFERÊNCIAS

- ASHRAFI, A.; KALEIBAR, M. Mansouri. Cost, Revenue and Profit Efficiency Models in Generalized Fuzzy Data Envelopment Analysis. Fuzzy Information and Engineering - Elsevier. <https://doi.org/10.1016/j.fiae.2017.06.007>. 2017.
- BASTIAS, Daniela A.; PINO-FAN, Luis R.; MEDRANO, Iván G.; CASTRO, Walter F. Epistemic Criteria for Designing Limit Tasks on a Real Variable Function. Scientific Electronic Library Online. Bolema, Rio Claro (SP), v. 35, n. 69, p. 179-205.



ISSN 1980-4415 DOI: 4842-2766-4.
<http://dx.doi.org/10.1590/1980-4415v35n69a0>. 2021.

BURGOS, María; BUENO, Seydel; PÉREZ, Olga; Godino, Juan D. Onto-semiotic complexity of the Definite Integral. Implications for teaching and learning Calculus REDIMAT – Journal of Research in Mathematics Education, 10(1), 4-40. doi:10.17583/redimat.2021.6778. 2021.

CARVALHO, João P. A.; MACÊDO, Josué A. de; LOPES, Lailson dos R. P. Some Applications of Differential and Integral Calculus. Research, Society and Development, [S.l.], v. 10, n. 8, p. e22410817220. DOI: 10.33448/rsd-v10i8.17220. Disponível em: <https://rsdjournal.org/index.php/rsd/article/view/17220>. 2021.

COSTA, Denis C. L., COSTA, Heictor A. de O., & NEVES, Lucas P. Métodos Matemáticos Aplicados nas Engenharias via Sistemas Computacionais. SINEPEM-IFPA. 2019.

COSTA, Denis C. L.; COSTA, Heictor A. de O.; CASTRO, Ana P. S.; CRUZ, Edson C.; AZANCORT NETO, Julio L.; CRUZ, Brennus C. C. da. The dimensions of Mathematical and Computational Modeling prescribed to Environmental Management. Research, Society and Development, [S. l.], v. 9, n. 10, p. e6939109013. DOI: 10.33448/rsd-v9i10.9013. Disponível em: <https://rsdjournal.org/index.php/rsd/article/view/9013>. 2020.

COSTA, Denis C. L., COSTA, Heictor A. de O., Silva, Hugo C. M. da, & Silva, Silvio T. T. da. Matemática Computacional Aplicada à Ciência e Tecnologia. Belém, PA, SINEPEM-IFPA. 2021.

COSTA, Heictor A. de O.; COSTA, Denis C. L.; MENESES, Lair A. de. Interdisciplinarity Applied to the Optimized Dispatch of Integrated Electricity and Natural Gas Networks using the Genetic Algorithm. Research, Society and Development, [S. l.], v. 10, n. 2, p. e42110212641. DOI: 10.33448/rsd-v10i2.12641. Disponível em: <https://rsdjournal.org/index.php/rsd/article/view/12641>. 2021.

FULINI, Márcio A. História do Cálculo Diferencial e Integral. Universidade Federal de São João Del-Rei – UFSJ Núcleo de Educação à Distância Departamento de Matemática e Estatística – DEMAT. <http://hdl.handle.net/123456789/86>. 2016.

EVES, Howard. Introdução à História da Matemática. Tradução HYGINO H. Domingues. 5ª ed. Campinas: Editora da Unicamp, 2012.

KETKAR, Nikhil. Deep Learning with PYTHON – A Hands-on Introduction. Apress. ISBN-13 (pbk): 978-1-4842-2765-7. ISBN-13 (electronic): 978-1-

4842-2766-4. DOI 10.1007/978-1-4842-2766-4. Springer Science+Business Media New York. 2017.

LEITHOLD, Louis. Cálculo com Geometria Analítica. Tradução: Cyro de Carvalho Patarra. São Paulo: Harbra, 1994.

LUTZ, Mark e ASCHER, David. Aprendendo PYTHON. Tradução - João Tortello. Porto Alegre: Bookman. ISBN: 978-85-7780-013-1. 2ª ed. 2007.

SONG, Bing; NIU, Shuli; WAN, Shiqiang. Precipitation regulates plant gas exchange and its long-term response to climate change in a temperate grassland. Journal of Plant Ecology. Volume 9, Issue 5, Pages 531–541, <https://doi.org/10.1093/jpe/rtw010>. 2016.

MATHWORKS. MathWorks leading developer of Mathematical Computing software for Engineers and Scientists. <https://www.mathworks.com/>. 2021.

VERÓN, Manuel A.; GIACOMONE, Belén. Análise dos significados do conceito de Diferencial de uma perspectiva Ontosemiótica. Revemop - Revista científica da Universidade Federal de Ouro Preto – UFOP/PPGEDMAT. v. 3, p. e202109. DOI: <https://doi.org/10.33532/revenop.e202109>. 2021.

VILLEGAS, Mauricio V. Física Integrada con Cálculo. Ibagué: Universidad de Ibagué. 492 p. ISBN Digital: 978-958-754-112-0. 2014.